



Институт общей физики им. А.М.Прохорова РАН

---

# Диодно-лазерный спектрометр для диагностики орто/пара состава водяного пара

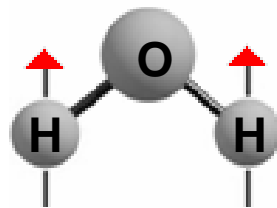
П.О. Капралов, В.Г. Артёмов, А.М. Макуренков,  
В.И. Тихонов, А.А. Волков

октябрь 2008г.

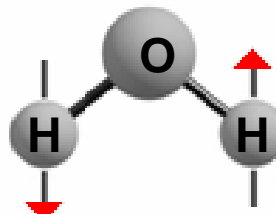


# СПИНОВЫЕ ИЗОМЕРЫ МОЛЕКУЛ ВОДЫ

ОРТО

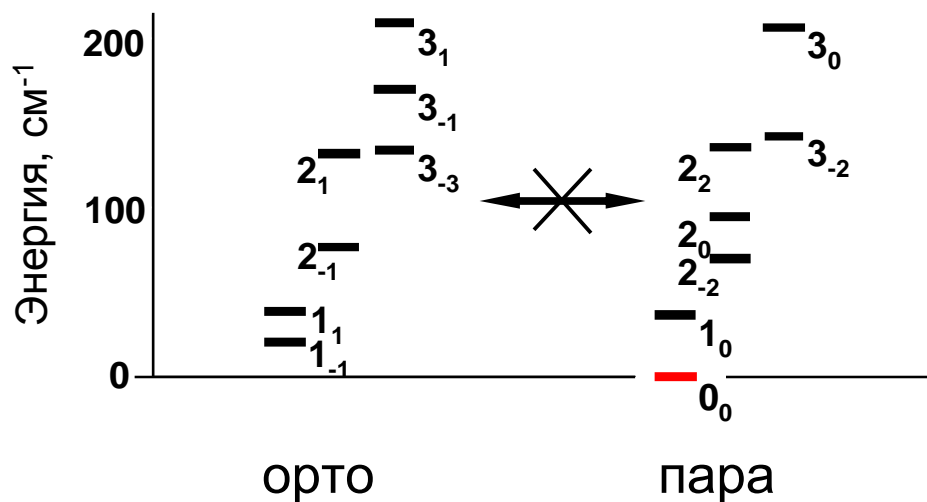


ПАРА



В равновесии: **3:1**

Нижние вращательные  
энергетические уровни

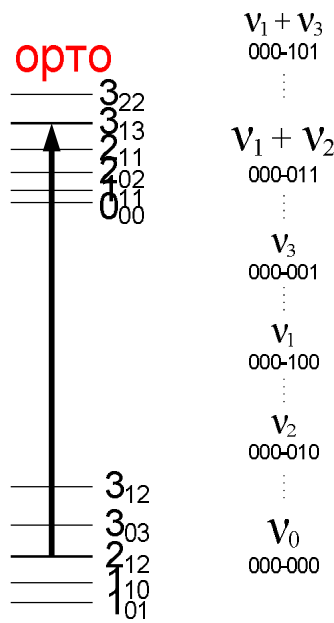


Водяной пар является смесью двух различных газов: орто-воды и пара-воды

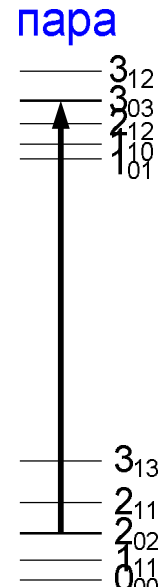
Каждая спектральная линия соответствует переходу между энергетическими уровнями либо только орто, либо только пара-молекул.



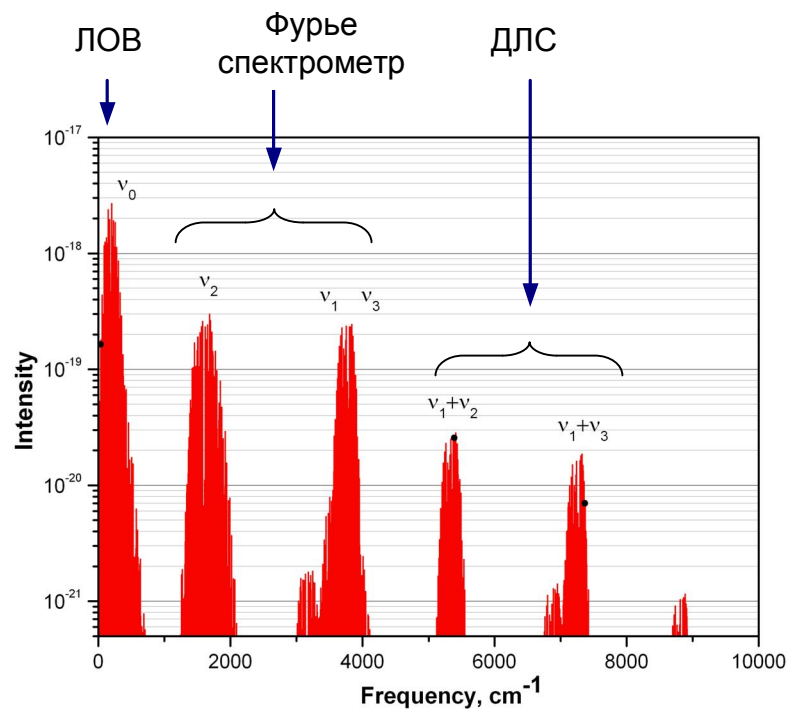
# ДИОДНО-ЛАЗЕРНАЯ СПЕКТРОСКОПИЯ ВОДЯНОГО ПАРА



5396.54 см<sup>-1</sup>

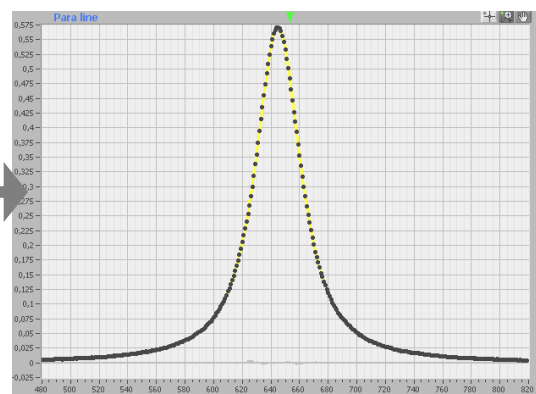
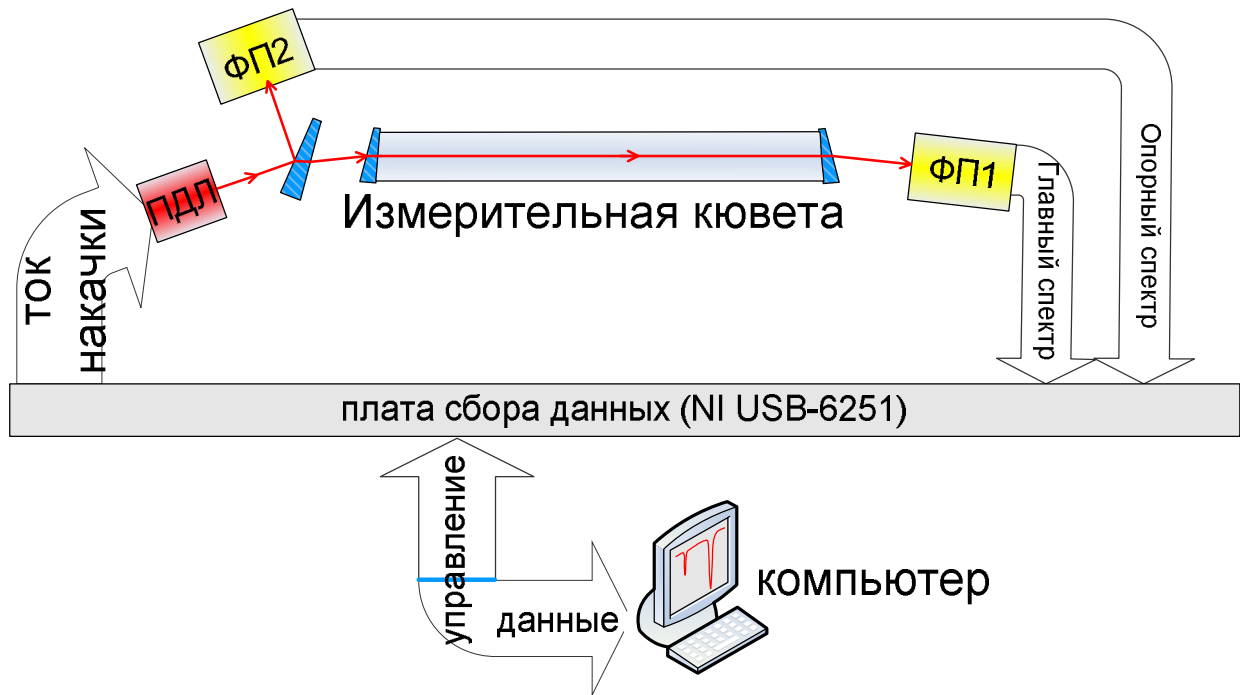
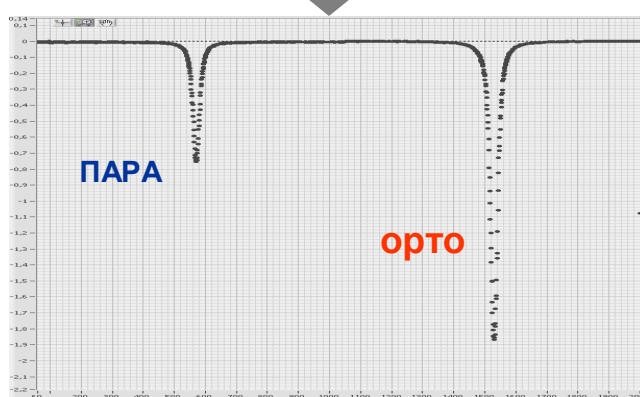
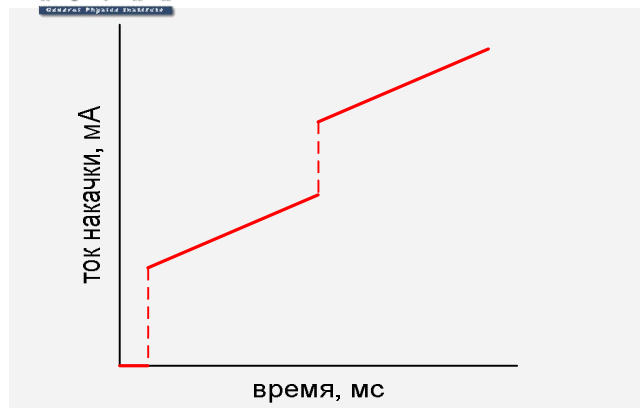


5393.65 см<sup>-1</sup>





# ПРИНЦИП РАБОТЫ СПЕКТРОМЕТРА

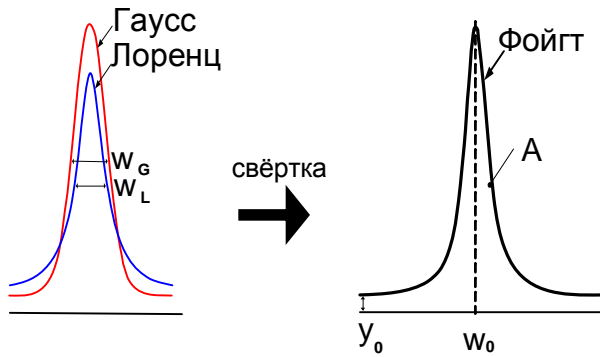
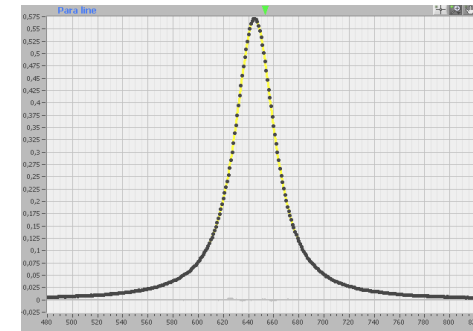
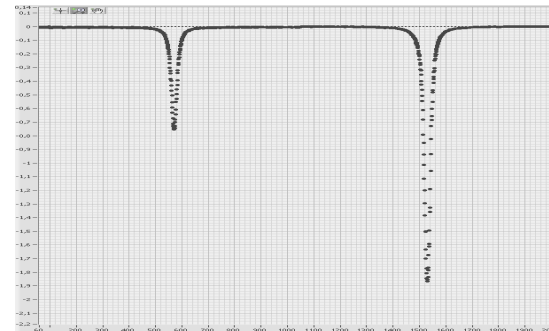


Получаемая информация:

- Ширина линий поглощения
- Интегральные интенсивности линий
- Орто/пара отношение



# ОБРАБОТКА СПЕКТРОВ



$$V(\omega) = y_0 + A \frac{2\ln 2}{\pi^{3/2}} \frac{w_L}{w_G} \int_{-\infty}^{\infty} \frac{e^{-t^2}}{\left( \sqrt{\ln 2} \frac{w_L}{w_G} \right)^2 + \left( \sqrt{4\ln 2} \frac{\omega - \omega_0}{w_G} - t \right)^2} dt.$$

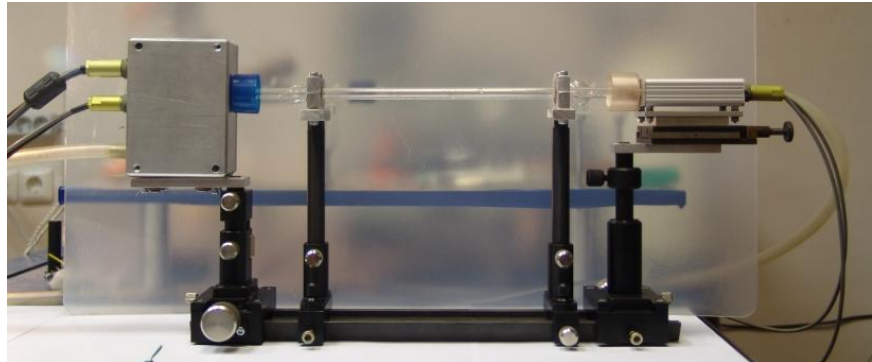
$$\boxed{V(\nu) = V(\nu_0) [(1 - k_1) \exp(-0.693 \cdot k_2^2) + k_1 / (1 + k_2^2) + 0.016(1 - k_1)k_1 \exp(-0.0841 * k_2^{2.25}) - 1 / (1 + 0.021 \cdot k_2^{2.25})],}$$

где:  $k_1 = w_L / w_V$ ,  $k_2 = (\nu - \nu_0) / w_V$ ,

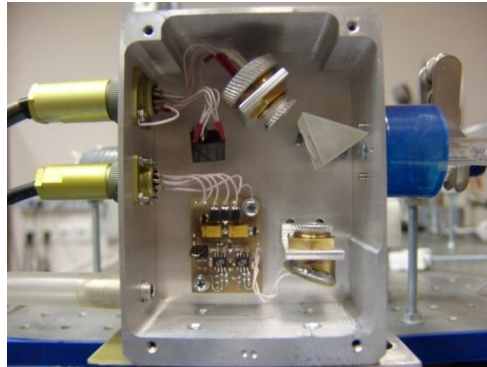
$$V(\nu_0) = A / [2w_V(1.065 + 0.447k_1 + 0.058k_2^2)],$$

где:  $w_V = 0.5346w_L + \sqrt{0.2166w_L^2 + w_D^2}$ .

# ВНЕШНИЙ ВИД СПЕКТРОМЕТРА



Оптическая часть спектрометра:  
источник излучения на основе ПДЛ,  
измерительная кювета и фотоприёмник.



ПДЛ, светоделительная призма  
и фотоприёмник опорного сигнала  
с усилителем.



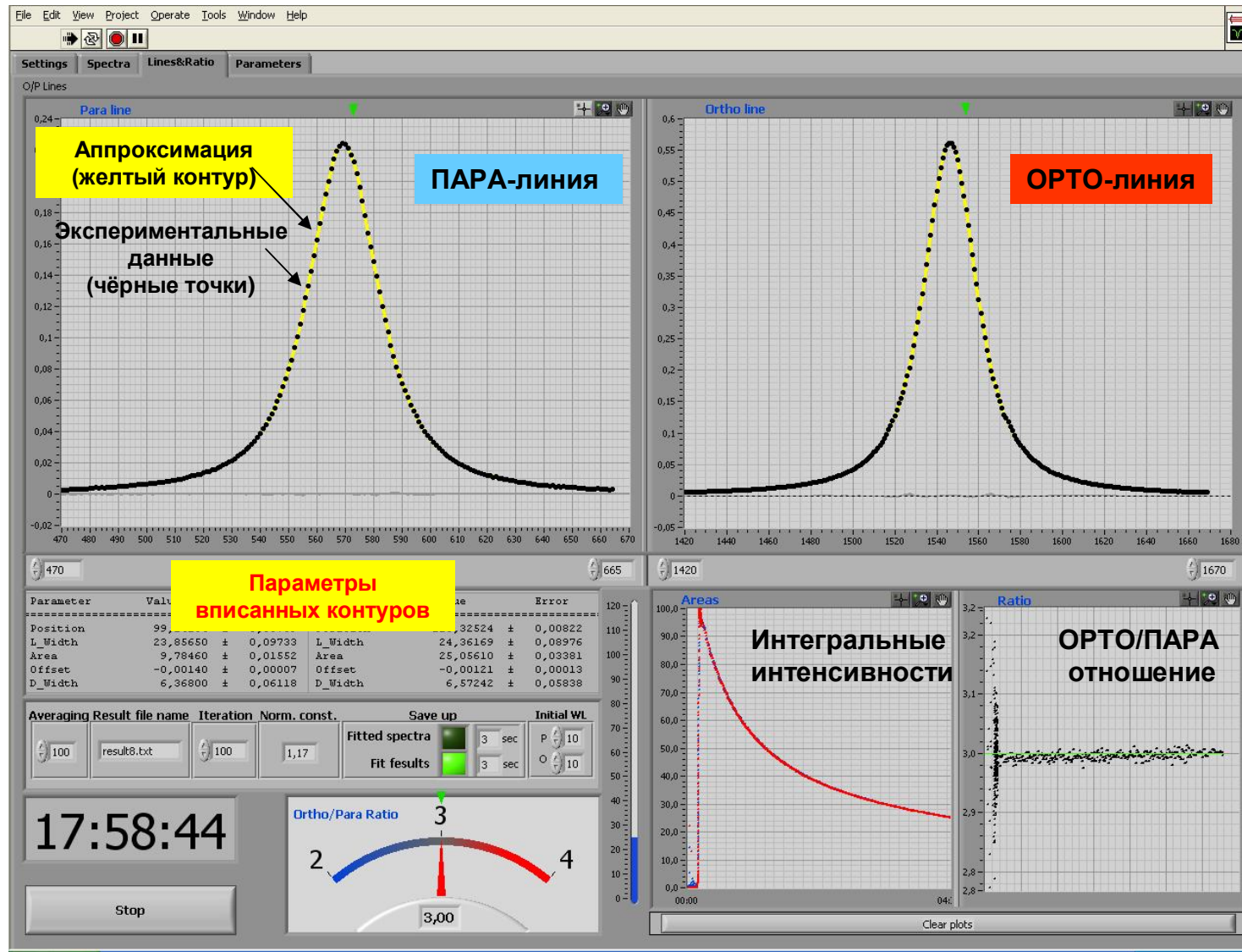
Плата сбора данных National Instruments  
и блок управления и защиты ПДЛ.

## Основные характеристики

- Рабочий диапазон давлений водяного пара: 0.01-20 Торр
- Диапазон абсолютного давления измеряемой газовой смеси: 0.01 – 1000 Торр
- Погрешность измерения орто/пара отношения ±1%
- Скорость измерения 3 изм./с

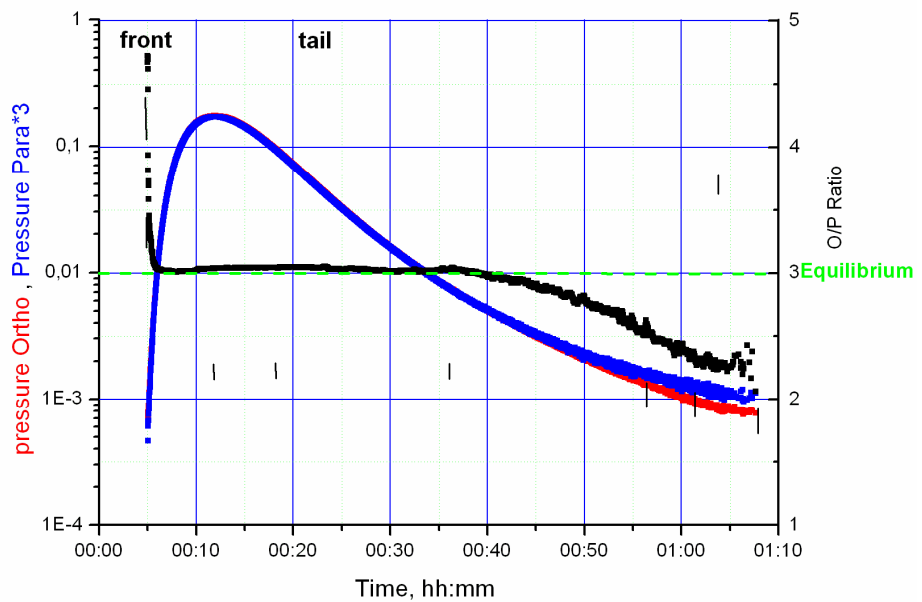
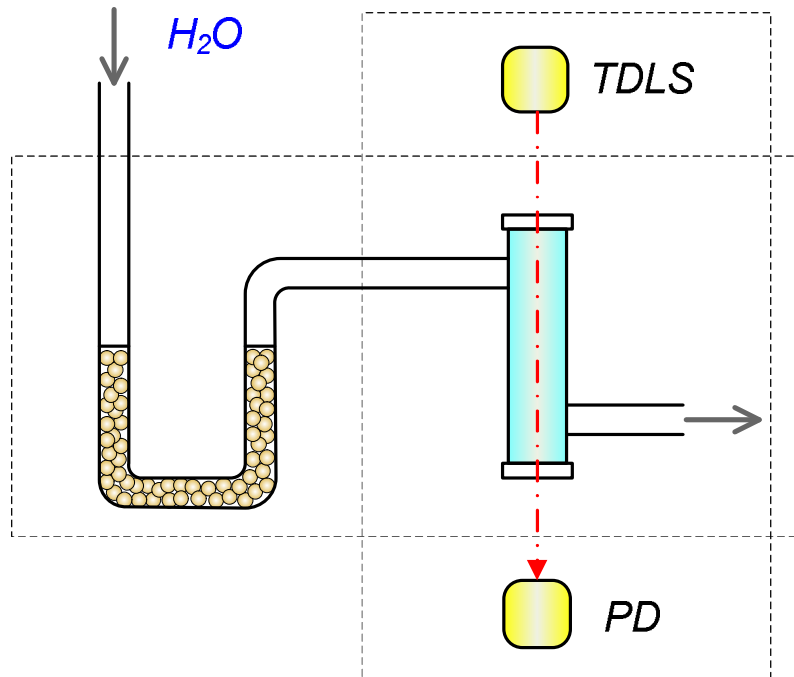


# ПРОГРАММНЫЙ ИНТЕРФЕЙС



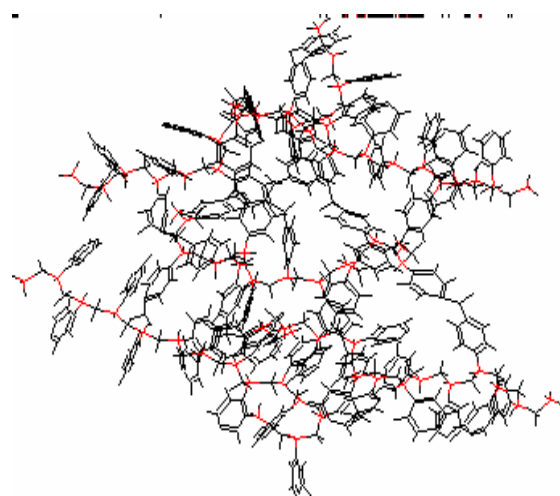
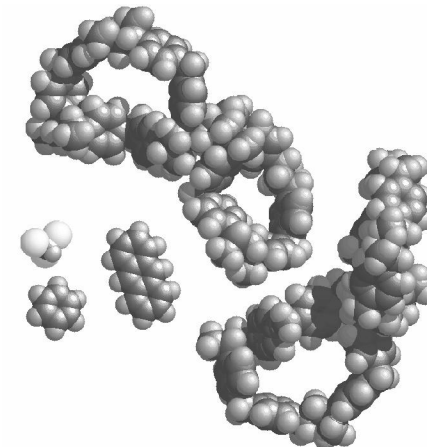


# ХРОМАТОГРАФИЧЕСКОЕ РАЗДЕЛЕНИЕ СПИНОВЫХ ИЗОМЕРОВ ВОДЫ

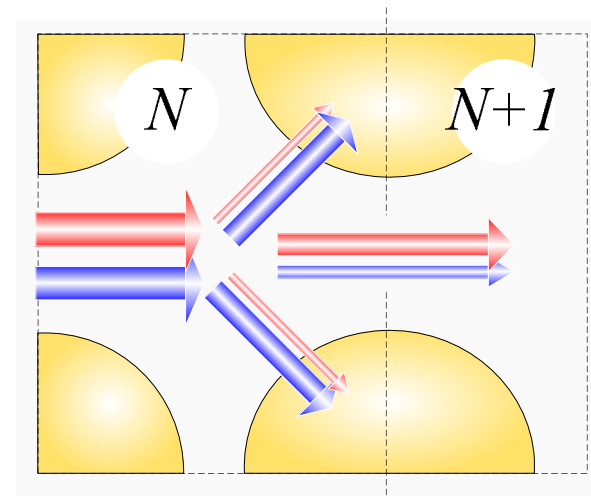


# СЕЛЕКТИВНАЯ ДИНАМИКА

Структура адсорбента  
MN-200



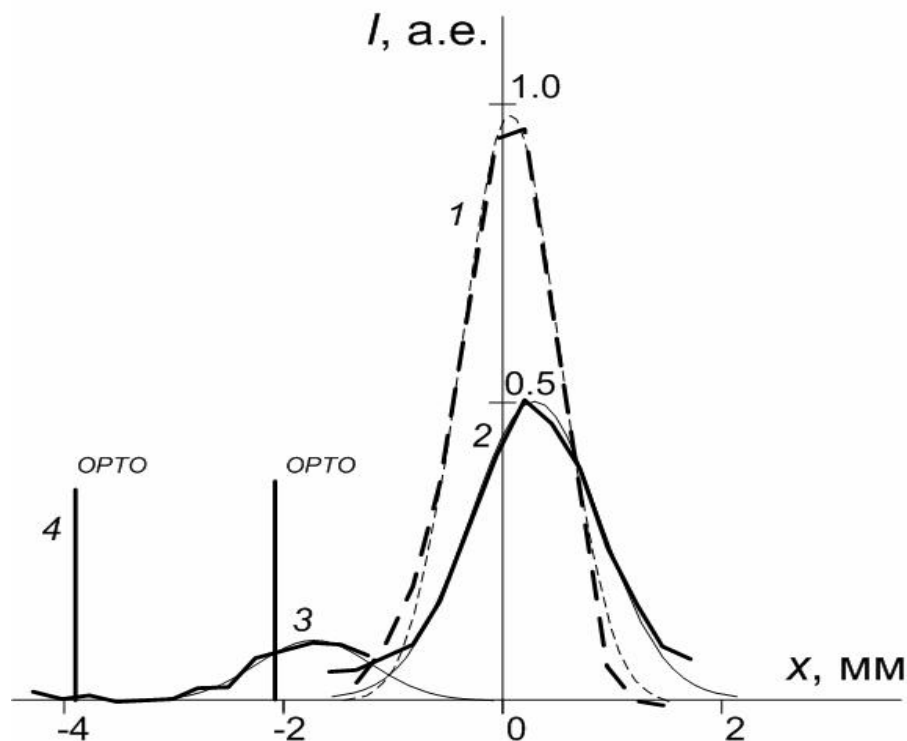
Взаимодействие с водяным паром



- Фактором спиновой *ортопара* селективности является паразитный для идеальной хроматографии процесс неодинаковой диффузии спин-изомеров молекул воды внутри адсорбента.



# СПИН-СЕЛЕКТИВНАЯ СОРТИРОВКА МОЛЕКУЛ ВОДЫ В ЭЛЕКТРИЧЕСКОМ ПОЛЕ



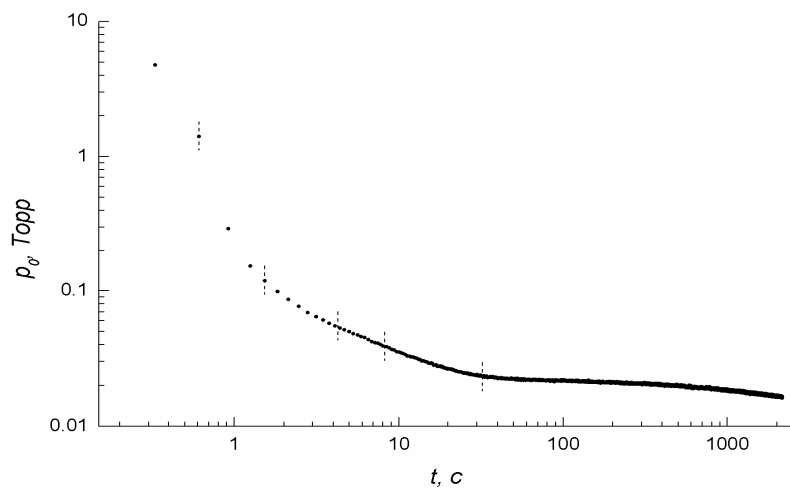
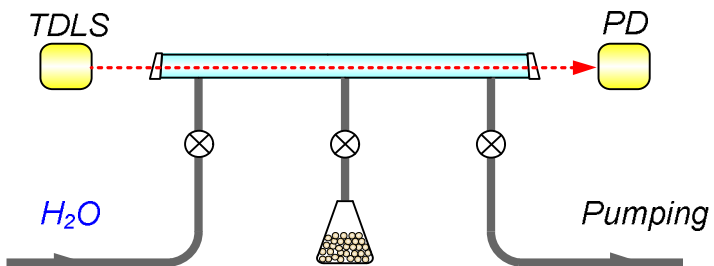
Пучки *ортого*- и *пара*- молекул воды, разделенные неоднородным электрическим полем (схематическое изображение данных работы R. Moro, J. Bulthuis, J. Heinrich, and V. V. Kresin, Phys. Rev. A, **75**, 013415 (2007)).

Пики 1-3 – экспериментально измеренные интенсивности потоков молекул воды, пропущенных через квадрупольный конденсатор, на расстоянии 712 мм от выхода. 1 – исходный пучок в нулевом электрическом поле, 2 и 3 – разделенные компоненты при поле на пластинах 20 кВ. Контур 3 – молекулы воды с уровня 1,1,1 (*ортого* молекулы), вертикальный штрих – теоретическое ожидание. 4 - теоретическое ожидание для поля 27.5 кВ. Контур 2 – пучок, лишенный молекул 1, $\pm$ 1,1 (*пара* обогащенный до уровня 1.7:1).

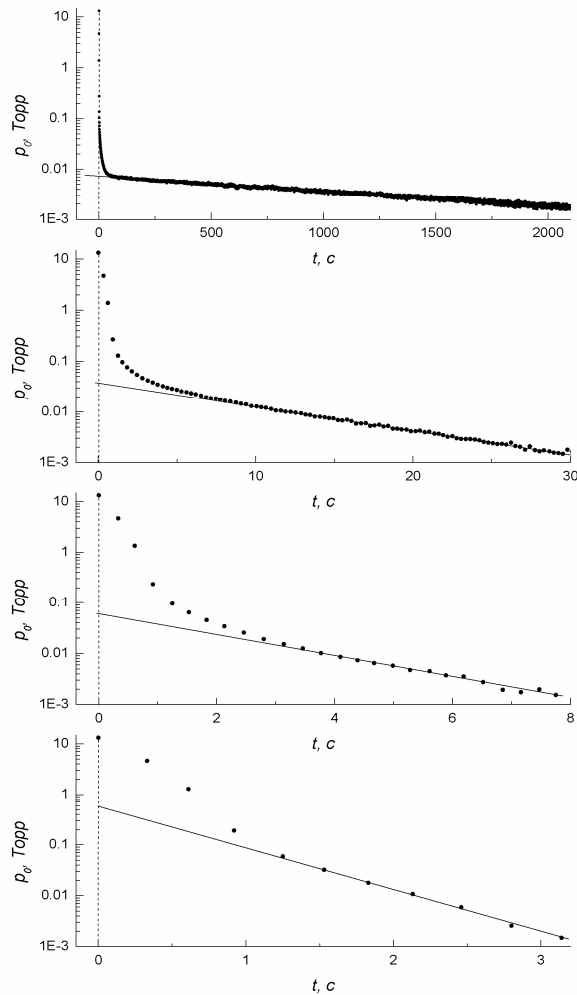


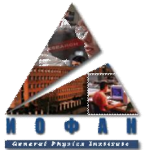


# ИССЛЕДОВАНИЕ ДИФФУЗИОННЫХ ПРОЦЕССОВ



Исходная кривая спада давления  
над поверхностью адсорбента





# ВЫВОДЫ

---

Данный диодно-лазерный спектрометр используется в экспериментах по разделению орто/пара изомеров водяного пара. Высокая точность и скорость измерений, широкий диапазон рабочих давлений анализируемого водяного пара и полностью автоматическая работа позволяют вести долговременный мониторинг орто/пара состава водяного пара.

- Прибор также может быть использован для исследований широкого круга физических и химических процессов с участием молекул воды:
  - сорбционная способность адсорбентов (изотермы сорбции)
  - процессы стационарной и нестационарной сорбции (хроматография)
  - динамические процессы массопереноса в пористых твердых матрицах и жидкостях (фильтрация)
  - фазовые диаграммы водных растворов
  - активность воды и влагосодержание в биотканях, продуктах питания, косметике
  - процессы растворения, испарения, сублимации кристаллизации
  - процессы гидратации, набухания, затвердевания, сушки
  - процессы коррозии, окисления, горения
  - процессы димеризации, полимеризации, кластерообразования, смогообразования
  - процессы изотопного (протонного) обмена, спин-конверсии
  - химические, биохимические, каталитические реакции с участием воды
  - газофазные реакции, селективные по спиновым состояниям реагентов
  - L-D хиральность биологических молекул
  - процессы электрокинетики (осмос, форез) и фотосинтеза
  - фрактальность строения веществ и процессов